

大阪大学 正員 小林寛夫
同 副 西村宣男

1. まえがき 等高等は斜ハンガーを有する Double Cable (いわゆるセバーン型) あるいは Mono Cable 吊橋の力学特性について研究を続けていたが、今回これら斜ハンガーのねじり変形における応力に着目して、考察を行つたので報告する。鉛直曲げ変形において斜ハンガーライフ剛性増加がある程度期待できることがこれまでの研究で明らかになつた。ねじり変形においても Double Cable の場合、2面の斜ハンガーは鉛直変形と同様、単に鉛直面内で変形するだけであるから、力学的には鉛直曲げ変形の延長で論ずることはできる。Mono cable 吊橋のねじり変形は Double Cable の場合と本質的に変形特性が異なるから、鉛直変形の单なる延長として理解を展開するにはできない。

Mono Cable 吊橋のねじり変形は Double Cable のねじり変形と横変位が、複雑に連成したものと考えらるべきである。

2. 基礎方程式の説明 (Double Cable)

Fig. 1 に示すように、斜ハンガーを一種の膜と考えて場合、その面内にあたる釣合から次の2式が導かれる。

$$F(x) = -\frac{dH(x)}{dx} \quad (1)$$

$$S(x) = -H(x)\left(\frac{d^2v}{dx^2} + \frac{d^2y}{dx^2}\right) - \frac{dH(x)}{dx}\left(\frac{dv}{dx} + \frac{dy}{dx}\right) - m_c \quad (2)$$

斜ハンガーの応力は次式で与えられる。

$$u_c = h(x)\frac{dv}{dx} - C_1 F(x) \quad (3)$$

ここで、 u_c はケーブルの橋軸方向変位、斜ハンガーライフ剛性 $C_1 = k^3/a E_h A_h$

一方補剛材にあたる吊索力、断面力及び外力は Fig. 2 のように作用する。

ケーブルのねじり抵抗は

$$dT_s = S(x)b dx \quad \frac{dT_s}{dx} = S(x)b \quad (4)$$

分布トルク $F(x)h(x)dx$ は補剛材のモリモーメント変化に対応し

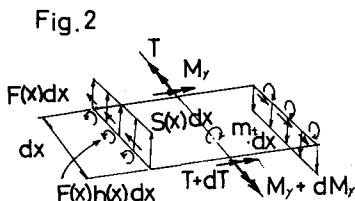
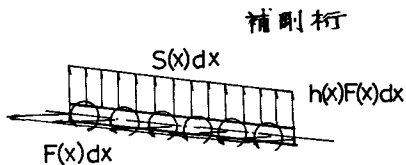
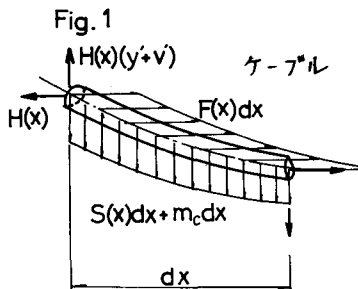
$$dM_w = -F(x)h(x)b dx$$

$$T_w = -\frac{dM_w}{dx} = F(x)h(x)b$$

$$\frac{dT_w}{dx} = \frac{d^2M_w}{dx^2} = \frac{dF(x)h(x)}{dx} b \quad (5)$$

吊索からのねじり及ぶ曲げねじり抵抗を併せて

$$\bar{m}_t = -\frac{dT}{dx} - \frac{dT_w}{dx}$$



$$= -S(x)b - \frac{dF(x)h(x)}{dx}b \quad (6)$$

補助方程のねじりに関する基礎方程式は $E_s C_w \varphi'' - G_s J \varphi''' = m_t + \bar{m}_t \quad (7)$

ここで m_t は外力分布ねじりモーメント \bar{m}_t は吊り力による附加ねじりモーメントである。
(7)式に(6)式を代入

$$E_s C_w \varphi'' - G_s J \varphi''' + S(x)b + \frac{dF(x)h(x)}{dx}b = m_t$$

式中の $F(x)$, $S(x)$ は(1), (2)式で与えられる。又 $v = \frac{b}{2}\varphi$ なる関係から 斜ハンガーリングのねじりに関する基礎方程式は

$$E_s C_w \varphi'' - \left(G_s J + H(x)\frac{b^2}{2}\right)\varphi''' - H_p b v'' - H_p'' h(x)b - H_p' \frac{b^2}{2}\varphi' = m_t \quad (8)$$

一方ケーブル方程式より $u_c' = \frac{H_p}{E_c A_c} \sec \psi - v'y'$

(3)式から u_c を消去すると

$$h(x)\frac{b}{2}\varphi''' = C_2 H_p - C_1 H_p' - C_1 H_p'' \quad (9)$$

3. 基礎方程式の解法

(8)式と(9)式を境界条件を満足するように解くわけだが、変数係数を有する微分方程式であるなど、(8)式左辺に 2 つの非線形項を有するなどから、次に示す差分方程式と Galerkin 法を組合せて loop 計算を行なう。(9)式を差分方程式に換えてと

$$-\left(\frac{C_{1,r}}{\lambda^2} - \frac{C_{1,r}'}{2\lambda}\right)H_{p,r+1} + \left(C_{2,r} + \frac{2C_{1,r}}{\lambda^2}\right)H_{p,r} - \left(\frac{C_{1,r}}{\lambda^2} + \frac{C_{1,r}'}{2\lambda}\right)H_{p,r-1} = h(x)\frac{b}{2}\varphi''(r) \quad (10)$$

右辺の $\varphi''(r)$ はオイ近似として鉛直ハンガーリングの値を用いる。境界条件として両端ケーブルの軸方向変位が 0, $H_{p,1} - H_{p,1} = C_3 \varphi'(0)$
 $H_{p,n-1} - H_{p,n-1} = C_3 \varphi'(L)$

$$\text{ここで } C_3 = \lambda b h_0 / C_{1,0}$$

式(10)式を求めて H_p を(8)式に用いて、ねじり角のオイ近似 φ_2 を求めよ。

$$\begin{aligned} E_s C_w \int_0^L \varphi'' \bar{\varphi} dx - G_s J \int_0^L \varphi''' \bar{\varphi} dx - \frac{b^2}{2} \int_0^L H(x) \varphi'' \bar{\varphi} dx - b v'' \int_0^L H_p \bar{\varphi} dx \\ - b \int_0^L H_p'' h(x) \bar{\varphi} dx - \frac{b^2}{2} \int_0^L H_p' \varphi' \bar{\varphi} dx = \int_0^L m_t \bar{\varphi} dx \end{aligned} \quad (11)$$

(11)式の解 φ_2 を再び(10)式右辺に代入し H_p のオイ近似を求め、更に(11)式により精度のよい φ を求めよ。このように loop をさせて(8)式、(9)式の複雑な計算が可能である。

4. あとがき

紙面の都合で、モノケーブルの場合の基礎方程式の説明を述べることができないが、たゞ一言で述べておきたい。

参考: “モノケーブルリギングの静力学的特性について” 小林 西村 下村

昭和44年度 土木学会関西支部講演会 概要